



دانشگاه سمنان

دانشکده علوم پایه

گروه فیزیک

پایان نامه کارشناسی ارشد

رشد تک بلورهای سه تایی ZnS_xSe_{1-x} به روش CVT

و مطالعه خواص آنها

توسط:

مریم عالی دائمی

استاد راهنما:

مجید جعفر تفرشی

آبان ۱۳۸۸

رشد تک بلورهای سه تایی ZnS_xSe_{1-x} به روش CVT و مطالعه خواص آنها

چکیده

این پایاننامه به رشد تک بلورهای سه تایی ZnS_xSe_{1-x} به روش CVT و بررسی خواص آنها می‌پردازد. فصل اول پایاننامه به معرفی بلورها به عنوان گروهی از جامدات، اهمیت، کاربرد و روش‌های متداول در رشد آنها می‌پردازد. فصل دوم به بررسی اهمیت بلورهای گروه II-VI جدول تناوبی و معرفی روش انتقال بخار شیمیایی (CVT) اختصاص یافته است. در فصل سوم محاسبات تئوریکی برای تعیین شرایط بهینه رشد قبل از شروع آزمایشات آورده شده است. در فصل چهارم تجهیزات مورد نیاز در رشد به روش CTV و آنالیزها معرفی شده است. در فصل پنجم، گزارش فعالیت‌های محدود انجام پذیرفته توسط سایر محققین در رشد این بلورهای سه تایی مرور و نتایج انجام آزمایشات نیز آورده شده است. در فصل آخر این پایان نامه، نتایج آنالیزهای متعدد انجام پذیرفته بر روی بلورهای رشد یافته، نظیر طیف‌سنجی پراش پرتو ایکس (XRD)، سختی سنجی ویکرز، طیف سنجی عبور نوری UV-Vis، مطالعه میکرو ساختاری SEM و آنالیز تعیین کیفیت ساختاری آورده شده است.

واژه‌های کلیدی

انتقال شیمیایی فاز بخار (CVT)، تک بلور، دمای بهینه رشد، ریزساختاری

فهرست مندرجات

۱۲

۱ مقدمه‌ای بر رشد بلور

۱۲

۱-۱ معرفی جامدات بلورین.....

۱۵

۱-۲ کاربرد تک بلورها.....

۱۵

۱-۳ تاریخچه رشد بلور.....

۱۷

۱-۴ روش‌های رشد بلور.....

۱۸

۱-۵ فرایند رشد بلور از فاز جامد.....

۱۸

۱-۶ رشد از مذاب.....

۱۸

۱-۶-۱ روش ورنوئیل.....

۱۹

۱-۶-۲ روش چکرالسکی.....

۲۰

۱-۶-۳ روش بریجمن.....

۲۱

۱-۶-۴ روش منطقه شناور.....

۱-۷ رشد از محلول ۲۱
۱-۷-۱ رشد از محلول در دمای پایین ۲۲
۱-۷-۲ رشد از محلول در دمای بالا (روش فلاکس) ۲۲
۸-۱ فرایند رشد بلور از فاز بخار ۲۳
۸-۱-۱ روش تصعید ۲۴
۸-۱-۲ فرایند نشست بخار شیمیایی (CVD) ۲۵
۸-۱-۳ فرایند انتقال بخار شیمیایی (CVT) ۲۵
۹-۱ نرخ تولید سالانه بلورها با استفاده از روش‌های مذکور ۲۶
۱۰-۱ رونشستی ۲۷
۱۰-۱-۱ رونشستی فاز مایع ۲۷
۱۰-۱-۲ رونشستی فاز بخار ۲۸
۱۰-۱-۲-۱ رونشستی فاز بخار متداول (VPE) ۲۸
۱۰-۱-۲-۲ رونشستی دیواره داغ (HWE) ۲۹
۱۰-۱-۲-۳ رونشستی نشست بخار شیمیایی فلز-آلی (MOCVD) ۳۰
۱۰-۱-۴ رونشستی پرتو ملکولی (MBE) ۳۰
۲ فرایند انتقال بخار شیمیایی (CVT)
۱-۲ مقدمه ۳۱

۲-۲ اهمیت و کاربردهای تکبلورهای گروههای II-VI جدول تناوبی	۳۲
۳-۲ ویژگی‌های نیمهرساناهای مرکب گروه II-VI	۳۴
۴-۲ شیمی فیزیک واکنش‌های انتقال شیمیایی	۳۷
۵-۲ عوامل موثر بر روی فرایند انتقال بخار شیمیایی	۳۹
۶-۲ عوامل موثر در انتخاب عامل انتقال	۴۰
۷-۲ مزایا و محدودیت‌های روش CVT	۴۱

۳ محاسبات ترمودینامیکی شرایط بهینه رشد به روش CVT	۴۲
۱-۳ لزوم بهینه نمودن شرایط رشد در روش CVT	۴۳
۲-۳ محاسبه ضریب اشباع در سیستم‌های ساده CVT	۴۴
۳-۳ محاسبات ترمودینامیکی تعیین دمای بهینه رشد سیستم ZnS_xSe_{1-x}	۴۶

۴ تجهیزات رشد بلور به روش CVT و آنالیز آنها

۵۲	۱-۴ کوره.....
۵۴	۲-۴ محفظه رشد.....
۵۵	۳-۴ سیستم خلاء.....
۵۸	۴-۴ ترموکوپل و پروفایل دمایی کوره.....
۵۹	۵-۴ ترازوی دیجیتال.....
۵۹	۶-۴ آنالیز کمی و کیفی بلورها.....
۵۹	۱-۶-۴ آنالیز پراش پرتو X (XRD).....
۶۱	۲-۶-۴ روش سنجش میکروسختی ویکرز.....
۶۲	۳-۶-۴ طیف سنجی عبور نوری (UV-Vis).....
۶۳	۴-۶-۴ آنالیز ریزساختاری.....
۶۴	۵-۶-۴ آنالیز کیفیت ساختاری بلور.....
۶۵	۶-۶-۴ مورفولوژی سطحی بلورها.....
۶۶	۷-۶-۴ رفتار رشدی بلورها.....
۶۷	۸-۶-۴ رشد مارپیچ ها.....
۶۸	۹-۶-۴ رشد تپه ها.....
۶۹	۱۰-۶-۴ ماکروپله، ماکرولايه و چین خوردگي ها.....

۵ رشد تک بلورهای ZnS_xSe_{1-x} به روش CVD

۷۱ ۱-۵ مروری بر کارهای قبل

۷۲ ۲-۵ انجام آزمایشات

۷۵ ۳-۵ نتایج آزمایشات انجام شده

۶ آنالیز کمی و کیفی بلورهای ZnS_xSe_{1-x} رشد یافته

۸۰ ۱-۶ نتایج آنالیز پراش پرتو X بلورهای رشد یافته

۸۲ ۲-۶ نتایج آنالیز میکروسختی و یکرز بلورهای رشد یافته

۸۳ ۳-۶ نتایج طیفسنجی عبوردهی نوری (UV-vis) بلورهای رشد یافته

۸۴ ۴-۶ نتایج آنالیز ریز ساختاری بلورهای رشد یافته

۸۹ ۵-۶ نتایج آنالیز کیفیت ساختاری بلورهای رشد یافته

فهرست اشکال

- ۱a-۱ طرح‌واره‌ای از طرز قرارگرفتن اتم‌ها در یک ماده تک‌بلور ۱۲
- ۱b-۱ تصویری از یک ماده تک‌بلور ۱۳
- ۲a-۱ طرح‌واره‌ای از طرز قرارگرفتن اتم‌ها در یک ماده چند‌بلور ۱۳
- ۲b-۱ تصویری از یک ماده چند‌بلور ۱۴
- ۳a-۱ طرح‌واره‌ای از طرز قرارگرفتن اتم‌ها در ماده آمورف ۱۴
- ۳b-۱ تصویری از یک ماده آمورف ۱۴
- ۴-۱ طرح‌واره‌ای از دستگاه رشد بلور به روش ورنوئیل ۱۹
- ۵-۱ طرح‌واره‌ای از دستگاه رشد بلور به روش چکرالسکی ۲۰

۱-۶ طرح وارهای از دستگاه رشد بلور به روش بریجمن ۲۰

۱-۷ طرح وارهای از دستگاه رشد بلور به روش منطقه شناور ۲۱

۱-۸ طرح وارهای از رشد بلور از محلول در دمای پایین ۲۲

۱-۹ سیستم های رشد بلور از فاز بخار ۲۴

۱-۱۰ طرح وارهای از محفظه رشد بلور به روش تصعید ۲۵

جدول ۱-۱ نرخ تخمینی تولید سالانه جهانی بلورها ۲۶

۱-۱۱ طرح وارهای از دستگاه رشد بلور به روش LPE ۲۸

۱-۱۲ نمایی از واکنشگر رونشینی فاز بخار VPE ۲۹

۱-۱۳ طرح وارهای از دستگاه رشد MBE ۳۰

۱-۲ کاربرد ترکیبات گروههای II-VI جدول تناوبی ۳۳

جدول ۱-۲ ویژگی های فیزیکی و شیمیایی ترکیبات دوتایی ZnS و ZnSe گروه های II-IV جدول تناوبی ۳۴

۲-۲ ساختارهای زینک بلند و ورتزایت ۳۶

۳-۲ تک بلورهای ZnS_xSe_{1-x} از $x=0.1$ تا $x=0.8$ با اختلاف 0.1	۳۶
۴-۲ طرح‌واره‌ای از تیوب انتقال بخار شیمیایی ($T_1 < T_2$)	۳۷
۱-۳ نمودار تغییرات $\Delta\alpha$ برای بلور ZnS_xSe_{1-x} بر حسب دما به ازاء $x = 0.6$	۵۰
۲-۳ نمودار تغییرات دمای بهینه رشد بلور ZnS_xSe_{1-x} بر حسب تغییرات غلظت عامل انتقال به ازاء ترکیبات مختلف عناصر (x)	۵۱
۱-۴ کوره مدل TZF 3216 استفاده شده جهت فرایند رشد به روش CVT	۵۳
۲-۴ آمپول تهییه شده از لوله کوارتز	۵۴
۳-۴ کنترل هسته گذاری در رشد از بخار	۵۵
۴-۴ طرح‌واره‌ای از یک دستگاه خلاء (HINDHIVC)	۵۷
۴-۵ تصویر سیستم خلاء استفاده شده برای بستن آمپول‌ها در خلاء	۵۷
۴-۶ نمونه‌ای از پروفایل دمایی کوره سه‌ناحیه‌ای، همراه با طرح‌واره‌ای از نحوه قرارگیری تیوب کوارتز در داخل مافل کوره	۵۸
۷-۴ ترازوی دیجیتال Sartorius دارای دقت 0.1 mg	۵۹

۴-۴ طرح وارهای از آنالیز پراش اشعه X.....	۶۰
۴-۵ طرح وارهای از آزمایش ویکرز آزمایش ویکرز.....	۶۱
۴-۶ دو نوع متفاوت از ماکرومorfولوژی رشد.....	۶۷
۴-۷ رشد تپه ها در نقطه حضور نابجایی ها.....	۶۹
۴-۸ شستشوی لوله کوارتز با اسید کرومیک.....	۷۳
۴-۹ نمونه ای از آمپول حاوی مواد اولیه که در حضور خلاء بسته شده است.....	۷۳
۴-۱۰ نمونه ای از بلورهای ZnSe رشد یافته در داخل تیوب CVT.....	۷۶
۴-۱۱ بلور ZnSe رشد یافته در دمای بهینه C^{777}	۷۶
۴-۱۲ بلور ZnSe رشد یافته در دمای غیر بهینه C^{877}	۷۷
۴-۱۳ تک بلور ZnS _{0.3} Se _{0.6} رشد یافته در دمای بهینه C^{822}	۷۷
۴-۱۴ تک بلور ZnS _{0.3} Se _{0.6} رشد یافته در دمای بهینه C^{822}	۷۸

- ۸-۵ تک بلور $ZnS_{0.6}Se_{0.4}$ رشد یافته در دمای بهینه $892^{\circ}C$ محدود به وجه کوچک
۷۸..... و وجههای بزرگ (۱۰۰) و (۱۱۱)
- ۹-۵ تک بلور $ZnS_{0.6}Se_{0.4}$ رشد یافته در دمای بهینه $892^{\circ}C$ بدون سنتز مجدد مواد
۷۹..... اولیه
- ۱۰-۵ تک بلور $ZnS_{0.6}Se_{0.4}$ رشد یافته در دمای بهینه $892^{\circ}C$
- ۱-۶ طیف پراش اشعه X بلور $ZnS_{0.3}Se_{0.4}$
۸۱.....
- ۲-۶ طیف پراش اشعه X بلور $ZnS_{0.6}Se_{0.4}$
۸۱.....
- ۳-۶ نتایج مربوط به میکروسختی سنگی ویکرز بر روی سطح (۱۱۱)
۸۲.....
- ۴-۶ طیف جذب نوری تک بلور $ZnSe$
۸۳.....
- ۵-۶ طیف جذب نوری تک بلور $ZnS_{0.3}Se_{0.6}$
۸۴.....
- ۶-۶ تشکیل لایه‌های منظم روی سطح بلور $ZnSe$
۸۶.....
- ۷-۶ تشکیل لایه‌های نامنظم روی سطح بلور $ZnSe$
۸۶.....
- ۸-۶ رشد سریع لایه‌ها روی سطح بلور $ZnSe$
۸۷.....

- ۶-۹ پله های با دسته های متفاوت روی سطح بلور ZnSe ۸۷
- ۶-۱۰ تشکیل پله ها و پیچ و تاب ها بر روی سطح بلورهای ZnSe ۸۸
- ۶-۱۱ ساختار پله ای روی سطح بلور $ZnS_{0.6}Se_{0.4}$ ۸۸
- ۶-۱۲ تپه های ناشی از اچینگ حرارتی روی سطح (۱۱۱) بلور ZnSe ۹۰
- ۶-۱۳ تپه های ناشی از اچینگ حرارتی روی سطح (۱۱۱) بلور $ZnS_{0.6}Se_{0.4}$ ۹۰
- ۶-۱۴ حفره های ناشی از اچینگ شیمیایی روی سطح (۱۱۱) بلور $ZnS_{0.6}Se_{0.4}$ ۹۱
- ۶-۱۵ جدول (۱-۶) نتایج حاصل از رشد و آنالیز میکروساختاری بلورهای ZnS_xSe_{1-x} ۹۲

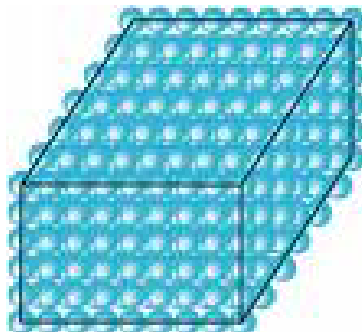
فصل ۱

مقدمه‌ای بر رشد بلور

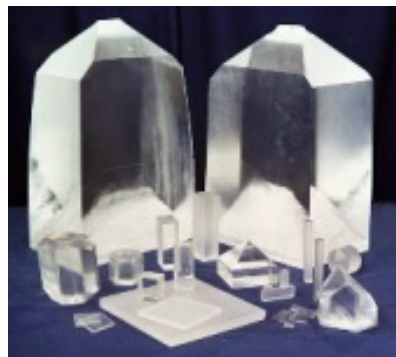
۱-۱ معرفی جامدات بلورین

جامدات از لحاظ ساختاری به سه دسته تقسیم می‌شوند:

- ۱) تک بلورها: در این مواد، یک الگوی سه‌بعدی مرتب شده در تمام بلور گسترش یافته است. اشکال (۱ a,b-۱)

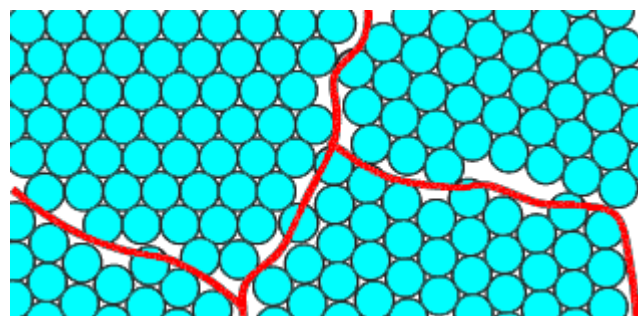


شکل ۱-۱a-۱ طرح‌واره‌ای از طرز قرار گرفتن اتم‌ها در یک ماده تک بلور



شکل ۱-۱ تصویری از ماده تک بلور

(۲) چندبلورها: در این ماده، الگوی سه‌بعدی مرتب شده در تمام بلور گسترش نیافته بلکه به وسیلهٔ صفحاتی قطع می‌شود، که به هر یک از این قسمت‌های منظم جدا شده یک دانه می‌گویند (شکل‌های ۲a,b-۱).

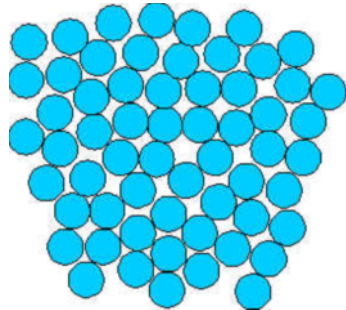


شکل ۱-۲a-۱ طرح‌واره‌ای از طرز قرار گرفتن اتم‌ها در یک ماده چندبلور



شکل ۱-۲b-۱ تصویری از یک ماده چند بلور

۳) جامدات بی‌شکل(آمورف) : در این ماده اندازه دانه‌ها خیلی کوچک و در حد چند اتم بوده و این ماده اصولاً فاقد ساختار تناوبی است(شکل‌های ۳a,b-۱).



شکل ۱-۱ ۳a طرح‌واره‌ای از طرز قرار گرفتن اتم‌ها در ماده آمورف



شکل ۱-۱ ۳b تصویری از یک ماده آمورف

به مواد جامدی که اجزای سازنده‌ی آن‌ها (ملکول، اتم یا یون‌ها) در سه جهت فضایی به صورت منظم کنار هم قرار گرفته باشند، کریستال یا بلور می‌گویند. این اتم‌ها به فاصله‌ای خیلی بزرگتر از سایز اتم در کنار یکدیگر قرار می‌گیرند(شکل ۱-۱). واژه‌ی کریستال ریشه‌ی یونانی داشته و به معنی منجمد شده در اثر سرما است. یونانی‌ها کریستال را برای اشاره به در کوهی به کار می‌برند. آن‌ها اعتقاد داشتند که اگر آب مدتی در دماهای بسیار پایین نگهداشته شود، به حالتی در می‌آید که در دماهای بالا پایدار است.

وزن بلورهای طبیعی بزرگ در حدود چند کیلوگرم و بلورهای مصنوعی تا ده ها کیلوگرم بالغ می‌شود. مواد در طبیعت بیشتر تمایل دارند که به صورت بلوری باشند زیرا مواد بلورین دارای آنتروپی کمتری هستند. هنگام

جهت‌گیری اتم‌ها در بلورها نتایج مختلفی ایجاد می‌شود که این امر خود باعث پیدایش خواص مختلفی در بلورها می‌شود. خواص ذاتی به دلیل وجود نقص‌هایی نظیر رسانندگی ذاتی در بلور خالص ایجاد می‌شوند از قبیل خواص فرومغناطیس و پیزوالکتریک. خواص غیر ذاتی به دلیل کم یا زیاد شدن ناخالصی‌ها ایجاد می‌شوند^[۱].

۱-۲ کاربرد تک بلورها

تک بلورها به جهت کاربرد فراوان‌شان در صنعت از اهمیت خاصی برخوردار هستند. آن‌ها در ساخت دستگاه‌های ارتباط از راه دور و ابزارهای محاسباتی خیلی دقیق به کار برده می‌شوند. تک بلورها در ساخت قطعات الکترونیک و الکتروپاتیک و همچنین در فناوری‌های نظامی و اقتصادی نظیر مخابرات با امواج نور، فیبر نوری، لیزرها، آشکارسازها و سلول‌های خورشیدی نیز کاربرد فراوان دارند.

در رشد یک بلور باید کنترل زیادی بر موارد زیر داشته باشیم:

- (۱) نواقص
- (۲) غلظت ناخالصی‌ها
- (۳) غلظت اتم‌های خارجی که مخصوصاً برای ایجاد ویژگی خاص به عنوان آلاینده اضافه می‌شوند.
- (۴) مورفولوژی بلور

۱-۳ تاریخچه رشد بلور

هانس شیل^۱ از پیشگامان فناوری رشد بلور بوده که در مقاله به چاپ رسیده خود در ژورنال مخصوص رشد بلور، سیر تاریخی این فناوری را به شرح ذیل آورده است^[۲]:
مفاهیم بنیادین فناوری رشد بلور از آزمایش‌های اولیه بلورسازی در قرن ۱۹ و ۲۰، توسعه علم ترمودینامیک در اواخر قرن نوزدهم به وسیله‌ی گیبس^۲، آرینوس^۳، وانت هف^۴ و نیز توسعه نظریه‌های رشد و هسته‌سازی و نقش

¹ Hans Scheel

² Gibbs

³ Arrhenius

⁴ Vant Hoff

پدیده انتقال در قرن ۲۰ ام سرچشمه می‌گیرد. تا آن زمان مفاهیمی نظیر زیرتبریدی^۱ و گرمای بلورسازی، بهوسیله‌ی فارنهایت^۲ (۱۷۲۴) و نیز لوئیتز^۳ (۱۷۹۵) شناخته شده بودند. نواحی نیمه‌پایدار یعنی محدوده وجود محلول‌های زیرتبریدی بهوسیله‌ی استوالد^۴ در خلال سال‌های ۱۸۹۳-۱۸۹۷ و نیز مایرز^۵ در سال ۱۹۰۶ اندازه گیری و تعریف شد. این در حالی بود که تاثیر اصطکاک بر روی پهنه‌ای این ناحیه استوالد- مایرز بهوسیله‌ی یانگ در خلال سال‌های ۱۹۱۱-۱۹۱۳ توضیح داده شده بود. اثر هم‌زدن، بر روی ناحیه نیمه‌پایدار در بلورسازی انبوه نمک، شکر و بعضی از مواد شیمیایی، دارای اهمیت است اما تاکنون این اثر از جنبه نظری درک نشده است. تامان^۶ در سال ۱۹۲۵ آهنگ‌های تشکیل هسته و بلورسازی را عمدتاً در شیشه‌ها مطالعه نمود و ولمر^۷ و بیر^۸ تئوری‌های تشکیل هسته را پایه‌گذاری نمودند. گزارش سطوح بلوری با پله‌ها و پیچ و تاب‌ها بهوسیله کاسل^۹ (۱۹۲۷) باعث شد استرانسکی^{۱۰} و کایشیو^{۱۱} (۱۹۳۴) کار جدا سازی واحدهای بلوری را به شکل پله‌های تکرار شونده به عنوان پایه ای برای اولین نظریه‌های رشد بلور تعریف نمایند. با علم به شکل گیری سطوح بلوری به عنوان تابعی از آنتروپی گذار(جکسون ۱۹۵۸) و نیز تابعی از چگالی پیوندها در ساختمان بلور(هارتمن^{۱۲} و پردوک^{۱۳} ۱۹۵۵) نقش نابجایی‌های پیچشی به عنوان منابعی از پله‌های پیوسته در شکل گیری تپه‌مانندها (فرانک^{۱۴} ۱۹۴۹) و تئوری عمودی(برتون^{۱۵}، کابر^{۱۶} و فرانک) و بعضی دیگر از پدیده‌های رشد بلور توضیح داده شد. در رشد بلور از محیط سیال(مذاب، محلول، فاز گاز) پدیده‌های انتقال حرارت و جرم نقش قابل توجهی را بازی می‌کنند؛ همانگونه که در ابتدا بهوسیله‌ی رایلی^{۱۷} (۱۷۴۵) و فرانک هیم^{۱۸} (۱۸۳۵) مشاهده شد. نظریه لایه مرزی نفوذی که بهوسیله‌ی نویس^{۱۹} و وايت نی^{۲۰} (۱۸۹۷) تعریف شد در معادله آهنگ رشد نرنس^{۲۱} (۱۹۰۴) مورد استفاده قرار گرفت و بهوسیله‌ی اندازه‌گیری‌های تداخل‌سنجدی نمودارهای غلاظت پیرامون بلورهای در حال رشد، بهوسیله‌ی برگ^{۲۲} (۱۹۸۳) و دیگران مورد تأیید قرار گرفت. ولف^{۲۳} (۱۸۸۶)، کروگر^{۲۴} و فینکی^{۲۵} (۱۹۱۰) و جانسن^{۲۶} (۱۹۱۵) (برای سیستم‌های باز دارای همزن) نشان دادند که هموفت واداشته برای رشد محدود به فرایند نفوذ مفید است و این در حالی است که هم‌زدن یکنواخت در ظروف درسته بهوسیله روش چرخش بوته شتاب‌دار، قابل دستیابی است(شیل ۱۹۷۱). رشد بلورهای عاری از نقص به روش مذاب با توجه به اصول زیرتبریدی نفوذی ایوانسف^{۲۷} (۱۹۵۱) و زیرتبریدی ساختاری تیلر^{۲۸}- جکسون- روتر^{۲۹}- چامرز^{۳۰} (۱۹۵۳) قابل انجام است. در رشد از محلول می‌توان با ایجاد جریانی کافی در جهت یا در مقابل سطوح رشد کننده، از شکل گیری نقص‌ها (یعنی ناپایداری رشد) جلوگیری نمود.

^۱ Undercooling	^۶ Tammann	^{۱۱} Kaischew	^{۱۶} Cabrea	^{۲۱} Nernst	^{۲۶} Johnsen
^۲ Fahrenheit	^۷ Volmer	^{۱۲} Hartman	^{۱۷} Roulle	^{۲۲} Berg	^{۲۷} Ivantsov
^۳ Lowitz	^۸ Weber	^{۱۳} Perdok	^{۱۸} Frankenheim	^{۲۳} Wulff	^{۲۸} Tiller
^۴ Ostwald	^۹ Kossel	^{۱۴} Frank	^{۱۹} Noyes	^{۲۴} Kruger	^{۲۹} Rutter
^۵ Miers	^{۱۰} Stranski	^{۱۵} Burton	^{۲۰} Whitney	^{۲۵} Finke	^{۳۰} Chamers

کارلسون^۱ (۱۹۵۳) نظریه‌ای بر مبنای تجربه را ایجاد کرد که این تئوری به وسیله‌ی شیل و ال ول^۲ (۱۹۷۲) به کار گرفته شد تا بیشترین آهنگ رشد پایدار و برنامه‌ریزی بهینه فوق‌اشباعی، برای به دست آوردن بلورهای بزرگ عاری از نقص به کار برد شود. مسئله جدا شدن، که مربوط به انتقال جرم و حرارت است باعث غیریکنواختی‌های میکروسکوپیکی و ماکروسکوپیکی در بلورهای آلاییده می‌شود. بر اساس ضرایب توزیع موثر به دست آمده به وسیله برتون (۱۹۵۳) برای رشد از مذاب و نیز به وسیله ون ارک^۳ (۱۹۸۲) برای رشد از محلول، ضرایط تجربی و تئوری برای رشد بلورهای عاری از نقص به وسیله‌ی شیل، سامراور^۴ و ریتز^۵ (۱۹۸۲/۱۹۸۳) پر قرار شد.

۱-۴ روش‌های رشد پلور

در رشد بلور اولین موضوعی که باید مورد توجه قرار گیرد خواص فیزیکی مواد است. آشنایی با خواص فیزیکی نظیر نقطه ذوب، نقطه جوش، چگالی، ضریب انبساط گرمایی، قابلیت واکنش با سایر مواد، طبیعت الکترونی مواد و نظایر آن در تعیین روش رشد ضروری است. همچنین پارامترهای دیگر نظیر فشار بخار مواد که در دمای محیط دچار تغییر فاز در حالت جامد می‌شوند در انتخاب روش رشد تاثیر گذار هستند. بعضی از بلورها با چندین روش متفاوت رشد قابل تولید هستند که در نتیجه از لحاظ اندازه، شکل و کیفیت متفاوت هستند. بلورهای رشد یافته به وسیله‌ی هر روش با توجه به اندازه، خلوص و شکل هندسی‌شان، در ساخت قطعات مخصوصی استفاده می‌شوند.

شد بلو در سه فاز مختلف صوت می گرد که عبارتند از:

- ۱) فرایند رشد بلوور از فاز جامد

۲) فرایند رشد بلور از فاز مایع که خود بر دو قسم است:

- الف) رشد از مذاب ب) رشد از محلول

فرایند رشد بلوار از فاز بخار (۳)

1 Carlson

² Elwell

^3 Liwen
Van Erk

van Eijk
4 Sommerauer

5 Rytz

۱-۵ فرایند رشد بلور از فاز جامد

این فرایند رشد بلور، برای بعضی از فلزات که بازپخت تحت کشش در آنها موثر است و در موارد خاصی که بین دمای ذوب و دمای اتاق، تغییر شبکه بلوری رخ می‌دهد مورد استفاده قرار می‌گیرد. در این نوع فرایند نمی‌توان تک بلورهایی با ابعاد بزرگ رشد داد.

۱-۶ رشد از مذاب

رشد بلور از فاز مذاب، پرکاربردترین روش در صنعت است. بیشتر بلورهای مهم صنعتی به‌وسیله‌ی این روش رشد داده می‌شوند. همچنین این روش نسبت به سایر روش‌ها ارزان است. در این روش ابتدا باید ماده اولیه بلور را ذوب نموده و سپس به یکی از روش‌های رایج، انجاماد کتترل شده‌ای را انجام دهیم. این روش‌ها غالباً بر ایجاد گرادیان دمایی حول نقطه انجاماد ماده تشکیل دهنده بلور استوار هستند. این گرادیان دمایی را می‌توان با دور کردن ماده مذاب از ناحیه گرم (بریجمن) و یا دور کردن آن از شعله (ورنوئیل) و یا کشش بلور از درون مذاب (چکرالسکی) و پالایش ناحیه‌ای (ذوب ناحیه‌ای) ایجاد کرد.

۱-۶-۱ روش ورنوئیل

در روش گداخت شعله و یا ورنوئیل ابتدا ماده اولیه را به صورت پودر تهیه کرده و با استفاده از ضربه‌های یکنواختی این پودر وارد دستگاه می‌شود. در دستگاه مخلوطی از گاز هیدروژن و اکسیژن با پودر مخلوط شده و باعث ایجاد شعله و ذوب شدن پودر می‌شود. پودر ذوب شده روی یک صفحه در حال دوران قرار گرفته و با سرعت خیلی کم از شعله دور می‌شود و در نتیجه به آهستگی منجمد و تک بلور ایجاد می‌شود. در این روش به علت نیاز نداشتن به بوته، آلودگی ناشی از بوته ایجاد نمی‌شود^[۳].